

## ทฤษฎีที่เกี่ยวข้อง

เนื้อหาในบทนี้จะกล่าวถึงสาเหตุของ MAI, แบบจำลองระบบของระบบ DS-CDMA ซึ่งสเปรคด้วยสเปรคดิงโค้ดแบบรหัสสั้น, การนำมัลติยูสเซอร์ตีเทกชันเข้าไปใช้ในระบบ, วิธีการวัดค่าต่างๆ รวมทั้งความหมายของค่าต่างๆที่วัดขึ้นมา และทฤษฎีเกี่ยวกับเครื่องรับแบบมัลติยูสเซอร์ที่นำมาเปรียบเทียบกับเครื่องรับที่เสนอในวิทยานิพนธ์ ซึ่งเครื่องรับเหล่านั้นคือ ดีคอรเรเลเตอร์, มัลติยูสเซอร์ตีเทกชันแบบป้อนกลับซึ่งใช้ค่าน้ำหนักถ่วงคงที่และมัลติยูสเซอร์ตีเทกชันแบบป้อนกลับชนิดปรับตัวเองโดยใช้เทรนนิงซีแควนซ์

### 2.1 สาเหตุของ MAI และสเปรคดิงโค้ด

MAI เป็นสัญญาณที่รบกวนกันระหว่างผู้ใช้ที่ใช้ความถี่คลื่นพาห์เดียวกันแต่ใช้สเปรคดิงโค้ดต่างกัน หรือมองเป็นสหสัมพันธ์ข้าม (cross-correlation) ระหว่างสัญญาณของผู้ใช้แต่ละคนก็ได้ สาเหตุหลักที่ก่อให้เกิด MAI คือการตั้งฉากอย่างไม่สมบูรณ์ของสเปรคดิงโค้ดของผู้ใช้แต่ละคนที่ใช้คลื่นพาห์เดียวกันซึ่งก็หมายถึงมีสหสัมพันธ์ข้ามระหว่างรหัส ทำให้สัญญาณระหว่างผู้ใช้แต่ละคนสามารถรบกวนซึ่งกันและกันได้ สเปรคดิงโค้ดที่มีผู้เสนอขึ้นใช้กับระบบ CDMA แบ่งได้เป็น 2 ประเภทใหญ่ๆ คือ [21]

- 1) PN-sequence (Pseudorandom Noise-sequence) เป็นลำดับไบนารีซึ่งมีคุณสมบัติคล้ายกับสัญญาณรบกวนซึ่งเป็นกระบวนการแบบสุ่ม รหัสประเภทนี้จะไม่ตั้งฉากกันเสมอในชุดรหัส ไม่ว่าจะเป็กรณีที่มีการเลื่อนของรหัส(กรณีส่งสัญญาณไม่พร้อมกัน)หรือไม่ซึ่งรหัสที่จัดอยู่ในประเภทนี้ก็คือ m-sequence (Maximal-length sequence), Gold code และ Kasami sequence เป็นต้น
- 2) Orthogonal code เป็นรหัสซึ่งตั้งฉากอย่างสมบูรณ์หรือเรียกว่ามีสหสัมพันธ์ข้ามเป็นศูนย์เมื่อไม่มีการเลื่อนของรหัส แต่เมื่อมีการเลื่อนของรหัสจะมีสหสัมพันธ์ข้ามมากกว่า PN-sequence นอกจากนี้คุณสมบัติทางสหสัมพันธ์ตัวเอง (auto-correlation) ของรหัสเหล่านี้ยังไม่ดีอีกด้วย ตัวอย่างของรหัสที่จัดอยู่ในประเภทนี้ก็คือ Hadamard Walsh และ Variable-length orthogonal sequence เป็นต้น

สำหรับสเปรคคิงโค้ดที่ทำให้เกิด MAI ในระบบซิงโครนัสสำหรับช่องสัญญาณที่มีการรบกวนจากสัญญาณรบกวนเกาส์เซียนแบบขาวจะเป็นรหัสประเภท PN-sequence ดังนั้นวิทยานิพนธ์นี้จะใช้การจำลองระบบโดยใช้สเปรคคิงโค้ดประเภท PN-sequence เท่านั้น

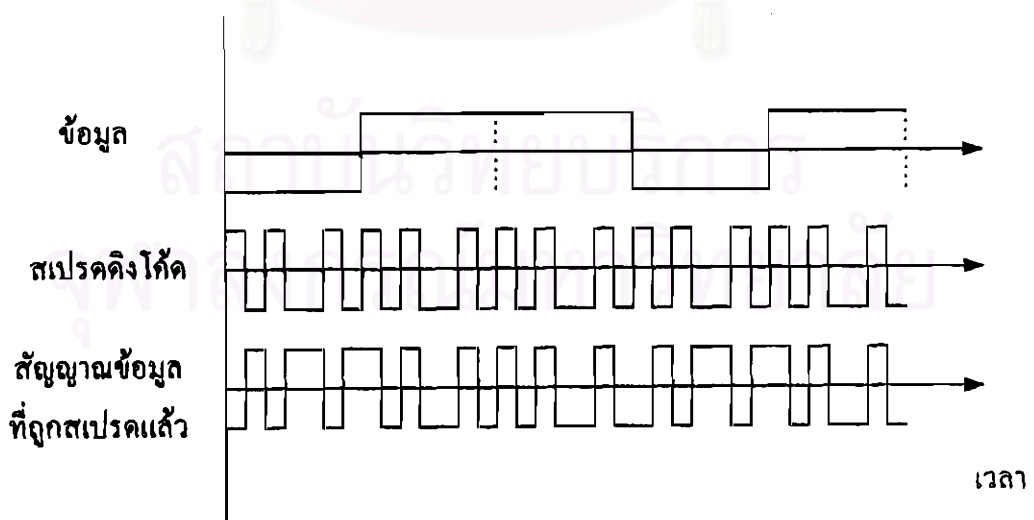
## 2.2 การส่งและการรับสัญญาณเบสแบนด์

### 2.2.1 ขั้นตอนการสเปรค

ขั้นตอนในการสร้างสัญญาณเบสแบนด์ของผู้ใช้แต่ละคนเพื่อส่งออกสำหรับ DS-CDMA จะเริ่มต้นด้วยการนำข้อมูลที่ต้องการส่งที่อยู่ในรูปของสัญญาณดิจิทัลซึ่งมีอัตราของบิตข้อมูลค่อนข้างต่ำมาคูณกับสเปรคคิงโค้ด ซึ่งมีอัตราของบิตข้อมูลที่สูงกว่ามาก ผลลัพธ์ที่ได้ คือ สัญญาณที่อัตราการส่งสูงกว่าข้อมูลที่ต้องการจะส่งมาก ด้วยเหตุนี้จึงเรียกว่าเกิดการแผ่ของสเปกตรัมเกิดขึ้น และจะเรียกขั้นตอนนี้ว่าขั้นตอนการสเปรคข้อมูล รูปที่ 2.1 ประกอบ

### 2.2.2 ขั้นตอนการดีสเปรค

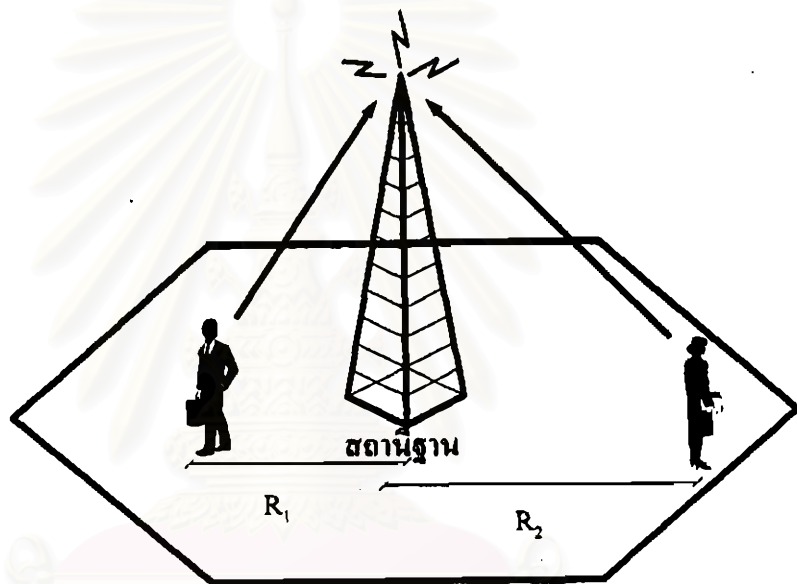
ที่ด้านรับจะหาข้อมูลที่ส่งมาจากสัญญาณที่รับได้โดยอาศัยวงจรคำนวณค่าสหสัมพันธ์ (correlator) วงจรคำนวณค่าสหสัมพันธ์จะทำหน้าที่คูณสัญญาณที่รับได้เข้ากับสเปรคคิงโค้ดตัวเดิมที่ใช้ในการสเปรคตอนส่งมา หลังจากนั้นก็หาค่าเฉลี่ยของสัญญาณทุกๆ หนึ่งคาบของบิตข้อมูลที่ต้องการ ในที่สุดก็จะได้ข้อมูลกลับคืนมา ซึ่งขั้นตอนนี้จะเรียกว่าการดีสเปรคสัญญาณ และขั้นตอนการดีสเปรคนี้จะอยู่ในเครื่องรับแบบแมตซ์ของผู้ใช้แต่ละคนซึ่งจะได้กล่าวถึงต่อไป



รูปที่ 2.1 ตัวอย่างแสดงการสเปรคสัญญาณ โดยคูณกับสเปรคคิงโค้ด

### 2.3 ปราบการณใกล้-ไกล (Near-Far effect)

นอกจาก MAI ซึ่งเกิดจากความสัมพันธ์ระหว่างสเปกตรัมได้คแล้วยังมีองค์ประกอบที่ทำให้การรบกวนระหว่างผู้ใช้เพิ่มขึ้นอีกก็คือปรากฏการณใกล้-ไกล ปรากฏการณใกล้-ไกลเป็นผลจากการที่ผู้ใช้อยู่ห่างจากสถานีฐานไม่เท่ากัน สัญญาณจากผู้ใช้ที่อยู่ใกล้สถานีฐานมากกว่าก็จะมาถึงสถานีฐานด้วยกำลังของสัญญาณแรงกว่า ซึ่งก็จะไปรบกวนสัญญาณจากผู้ใช้ที่อยู่ไกลจากสถานีฐานมากกว่าปกติ MAI จึงเพิ่มขึ้นทำให้เครื่องรับแบบแมตซ์รับสัญญาณผิดพลาดได้ ส่งผลให้ระบบมีสมรรถนะเลวลง ซึ่งเป็นปัญหาที่สำคัญมากอย่างหนึ่งของระบบ DS-CDMA ซึ่งวิธีที่ใช้กันทั่วไปในการแก้ไขปัญหานี้คือการควบคุมกำลังที่ไปถึงสถานีฐานของผู้ใช้ทุกคนให้เท่ากันซึ่งการควบคุมกำลังส่งที่เข้มงวดนี้จะส่งผลให้ระบบมีความซับซ้อนมาก



รูปที่ 2.2 ปราบการณใกล้-ไกล

### 2.4 แบบจำลองระบบ

วิทยานิพนธ์ฉบับนี้พิจารณาในระบบ DS-CDMA ในกรณีระบบเชื่อมโยงขาขึ้นสำหรับการส่งแบบซิงโครนัสสำหรับช่องสัญญาณที่มีการรบกวนจากสัญญาณรบกวนเกาส์เซียนแบบขาว เมื่อสัญญาณจากผู้ใช้แต่ละคนถูกสเปกตรัมโดยสเปกตรัมได้คแบบรหัสสั้นหรือรหัสที่ไม่มีการเปลี่ยนแปลงตามเวลา (time invariant spreading code)

#### 2.4.1 รหัสสั้น (Short code หรือ time invariant spreading code)

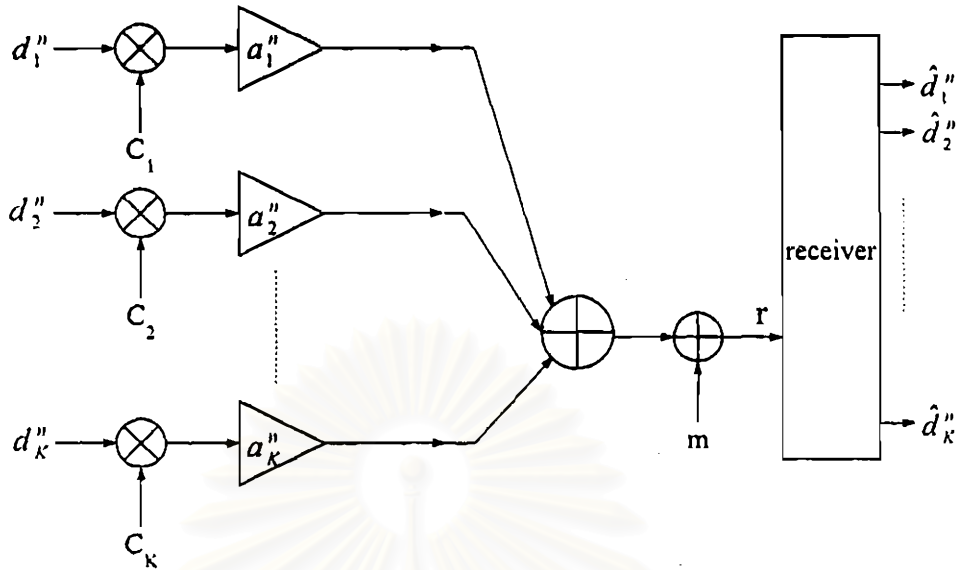
รหัสสั้น หมายถึง ใช้รหัสหนึ่งตัวในการสเปรคข้อมูลหนึ่งบิต และรหัสยาว (long code) หมายถึง ใช้รหัสหนึ่งตัวในการสเปรคข้อมูลหลายๆบิต(แต่ละบิตสเปรคด้วยส่วนย่อยที่แตกต่างกันของรหัสนั้น) หรืออาจมองว่าเป็นรหัสที่มีการเปลี่ยนแปลงตามเวลา (time varying spreading code) ก็ได้ ซึ่งในระบบ DS-SS ในมาตรฐาน IS-95 ใช้รหัสยาวในการสเปรคสัญญาณของผู้ใช้แต่ละคน แต่สำหรับระบบ DS-SS ในมาตรฐานยุคที่ 3 นั้นมีข้อเสนอเกี่ยวกับสเปรคคิงโค้ดทั้งรหัสสั้นและรหัสยาวในการสเปรคแยกผู้ใช้ [21] โดยรหัสสั้นนี้ถูกเสนอขึ้นมาเพื่อให้เครื่องรับแบบมัลติยูสเซอร์รุ่นใหม่ๆสามารถนำมาใช้ในทางปฏิบัติได้ เนื่องจากเกือบทั้งหมดของมัลติยูสเซอร์ดีเทกชันรุ่นใหม่ๆซึ่งมีความซับซ้อนมากขึ้นจะถูกพัฒนาโดยใช้สมมุติฐานว่าสเปรคด้วยรหัสสั้นทั้งสิ้น

และสำหรับมัลติยูสเซอร์ดีเทกชันแบบปรับตัวเองตามข้อมูลครั้งละบิตนั้นจะถูกออกแบบมาใช้เพื่อลดความซับซ้อนให้กับเครื่องรับในกรณีที่สเปรคด้วยรหัสสั้นเท่านั้น ตัวอย่างเช่น เครื่องรับที่มีการส่งเทรนนิ่งซีแควนซ์ทั้งหลาย [8, 12], ดิคอริเลเตอร์แบบบอดใน [17] และ เครื่องรับแบบบอดชนิดเชิงเส้นใน [22] เป็นต้น ซึ่งสำหรับจุดมุ่งหมายของวิทยานิพนธ์นี้ ก็ สามารถหลีกเลี่ยงการส่งเทรนนิ่งซีแควนซ์โดยยังคงใช้โครงสร้างเดียวกับเครื่องรับที่ส่งเทรนนิ่งซีแควนซ์ใน [12] ซึ่งใช้หลักการในการปรับตัวของแบบอัตโนมัติตามบิตข้อมูลครั้งละบิต ดังนั้นระบบที่ใช้จึงเป็นระบบที่สเปรคด้วยสเปรคคิงโค้ดแบบรหัสสั้น

##### 2.4.1.1 Gold code และรหัสแบบสุ่ม (random code)

สำหรับรหัสสั้นที่ใช้ในวิทยานิพนธ์ฉบับนี้จะใช้รหัสประเภท Gold code (รายละเอียดอยู่ในภาคผนวก ก) และรหัสแบบสุ่มเท่านั้น โดยให้ Gold code เป็นตัวแทนของสเปรคคิงโค้ดที่มีคุณสมบัติที่ดี (มีค่าสหสัมพันธ์ข้ามระหว่างรหัสต่ำมาก) ซึ่งจะถูกนำไปใช้ในระบบ CDMA และให้รหัสแบบสุ่มซึ่งเป็นรหัสที่ถูกสร้างขึ้นโดยสุ่มมาอย่างอิสระเป็นตัวแทนของสเปรคคิงโค้ดที่มีคุณสมบัติไม่ค่อยดีหรือเป็นตัวแทนในกรณีที่ MAI ในระบบหลายๆก็ได้ ทั้งนี้การที่มีการวิจัยผลของการสเปรคด้วยสเปรคคิงโค้ดแบบสุ่ม [8, 12] ทั้งๆที่ไม่มีการนำไปใช้จริงในระบบ CDMA ปัจจุบันนี้เนื่องจากพิจารณาว่าระบบในอนาคตจะมีผู้ใช้ที่มีจำนวนมหาศาล การที่จะใช้สเปรคคิงโค้ดซึ่งมีคุณสมบัติที่ดีเท่านั้นจะเป็นไปได้ยาก เนื่องจากในความยาวรหัสค่าหนึ่งๆจะมีรหัสซึ่งมีค่าสหสัมพันธ์ข้ามระหว่างรหัสต่ำอยู่เพียงจำนวนหนึ่งเท่านั้น ดังนั้นถ้าระบบใช้รหัสสั้นในการสเปรคแล้วในอนาคตอาจจำเป็นต้องใช้รหัสที่มีค่าสหสัมพันธ์ข้ามระหว่างกันด้อยลง มิฉะนั้นอาจจะต้องทำการวางแผนในการใช้รหัส

### 2.4.2 แบบจำลองระบบด้านส่ง



รูปที่ 2.3 แบบจำลองระบบ

พิจารณาแบบจำลองการส่งแบบเบสแบนด์ในระบบ DS-SS ในกรณีระบบเชื่อมโยงขาขึ้นสำหรับการส่งแบบซิงโครนัสผ่านช่องสัญญาณที่มีการรบกวนจากสัญญาณรบกวนเกาส์เซียนแบบขาว ซึ่งมีผู้ใช้งานจำนวน  $K$  คน ตั้งสมมุติฐานว่าสัญญาณจากผู้ใช้งานแต่ละคนมาถึงโดยซิงโครนัสกันอย่างสมบูรณ์และที่ด้านรับรู้สเปกตรัมโค้ดของผู้ใช้แต่ละคน ให้  $d_k^i$  เป็นข้อมูลของผู้ใช้ลำดับที่  $k$  บิตที่  $i$  ซึ่งมีคาบสัญญาณเป็น  $T_s$  ซึ่งมาถึงด้านรับด้วยกำลัง  $a_k^i$  เนื่องจากปรากฏการณ์ไคส์-โกลและให้ผู้ใช้ลำดับที่  $k$  มีสเปกตรัมโค้ด  $c_k(t)$  ซึ่งมีความยาวเป็น  $L_c$  ซึ่งสามารถเขียนได้เป็น

$$c_k(t) = \sum_{i=0}^{L_c-1} c_k^i \cdot \chi(t - iT_c) \quad (2-1)$$

โดยที่  $\chi(t) = \begin{cases} 1 & \text{if } t \in [0, T_c] \\ 0 & \text{otherwise} \end{cases}$ ,

$T_c$  เป็นคาบของชิฟ ( $T_c = T_s / L_c$ )

และ  $c_k^i \in \{-1, +1\}$

สัญญาณที่ผ่านการสเปกตรัมแล้วของผู้ใช้ลำดับที่  $k$  จะสามารถเขียนได้เป็น

$$ss_k(t) = \sum_{i=0}^{\infty} a_k^i d_k^i \cdot c_k(t - iT_s) \quad (2-2)$$

สัญญาณรวมที่รับได้จะสามารถเขียนได้เป็น

$$r(t) = \sum_{l=0}^{\infty} \sum_{k=1}^K a_k' d_k' \cdot c_k(t - iT_k) + m(t) \quad (2-3)$$

โดยที่  $m(t)$  เป็นสัญญาณรบกวนเกาส์เซียนแบบขาวที่มีค่าเฉลี่ยเป็นศูนย์และค่าความแปรปรวนเป็น  $\sigma^2$

### 2.4.3 แบบจำลองระบบด้านรับ

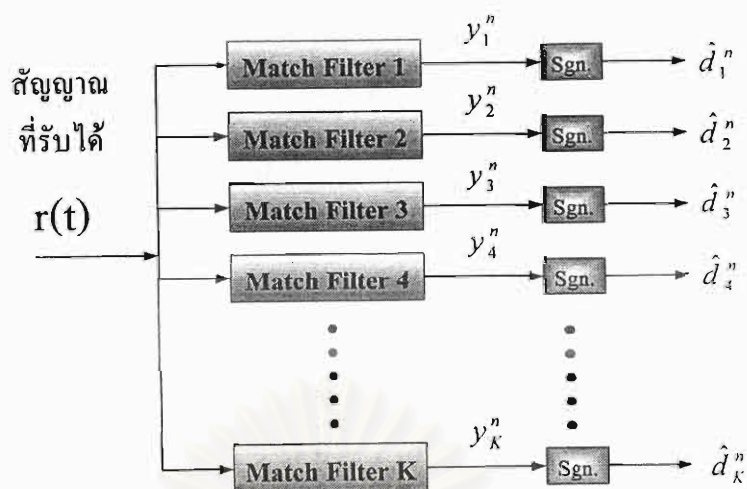
สัญญาณที่รับได้จะถูกนำมาผ่านเครื่องรับแบบแมตช์ก่อนในขั้นแรกแล้วหลังจากนั้นจึงนำสัญญาณที่ได้ไปผ่านมัลติเพลกซ์เซอร์ดีเทกชันที่สนใจ ซึ่งในวิทยานิพนธ์นี้ คือ มัลติเพลกซ์เซอร์ดีเทกชันแบบคอคอริเลเตอร์, มัลติเพลกซ์เซอร์ดีเทกชันแบบป้อนกลับชนิดนำหนักถ่วงคงที่และไมคงที่ ซึ่งในกรณีไมคงที่จะแยกเป็นสองแบบคือแบบใช้เทรนนิงซีแควนซ์ช่วยและแบบไม่ใช้ (แบบบอด)

#### 2.4.3.1 เครื่องรับแบบแมตช์ (Match Filter)

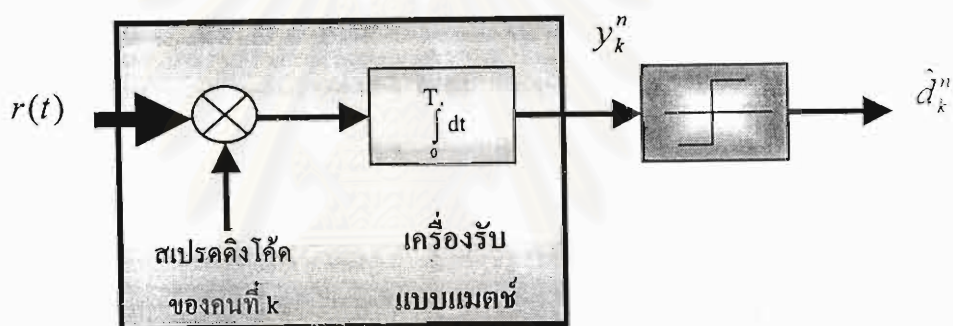
หน้าที่ของเครื่องรับในระบบ DS-SS คือทำหน้าที่แยกแยะผู้ใช้แต่ละคนออกจากกันให้ได้ ตามปกติแล้วเครื่องรับที่ใช้กันทั่วไปในระบบ DS-SS ยุคที่ 2 ก็คือ เครื่องรับแบบแมตช์ ดังรูปที่ 2.4.1 ซึ่งเครื่องรับนี้ก็ยังคงถูกใช้เป็นส่วนประกอบส่วนหนึ่งในการรับข้อมูลของระบบ DS-SS ในยุคที่ 3

เครื่องรับแบบแมตช์ของผู้ใช้แต่ละคนจะประกอบด้วยสเปกตรัมโค๊ดของผู้ใช้คนนั้นและวงจรมัลติเพลกซ์เซอร์ ดังรูปที่ 2.4.2 สังเกตว่าเครื่องรับแบบแมตช์ของผู้ใช้แต่ละคนจะใช้สเปกตรัมโค๊ดของตัวเองเท่านั้นในการแยกสัญญาณที่ต้องการออกมา เครื่องรับแบบแมตช์นี้ไม่ได้กำจัดสัญญาณแทรกสอด MAI ออกไปแต่จะคิดเหมือนกับว่ามันเป็นสัญญาณรบกวนซึ่งไม่สามารถกำจัดได้ หลังจากผ่านเครื่องรับแบบแมตช์แล้ว สัญญาณที่ได้จะถูกนำไปตัดสินใจว่าข้อมูลที่ผู้ใช้ส่งมาเป็นอะไร โดยผ่านวงจรตัดสินใจ ดังนั้นถ้าระบบมี MAI มากๆข้อมูลที่ได้จากเครื่องรับแบบแมตช์จะผิดพลาด เมื่อนำไปทำการตัดสินใจระบบก็จะรับข้อมูลได้ผิดไป หรือกล่าวได้ว่าความสามารถของเครื่องรับแบบแมตช์ถูกจำกัดด้วย MAI





รูปที่ 2.4.1 การตรวจจับข้อมูลโดยใช้เครื่องรับแบบแมตซ์ของระบบในยุคที่ 2



รูปที่ 2.4.2 เครื่องรับแบบแมตซ์ของผู้ใช้ลำดับที่ k

### 2.4.3.2 ช่องสัญญาณแบบ AWGN ซึ่งใช้เครื่องรับแบบแมตซ์

ในกรณีของช่องสัญญาณ AWGN ด้านรับจะนำสัญญาณที่รับได้ตามสมการ (2-3) ไปผ่านเครื่องรับแบบแมตซ์จำนวน K เครื่อง โดยเครื่องรับแบบแมตซ์สำหรับผู้ใช้ลำดับที่ k มีผลตอบเป็นสเปรคคิงโค้ดของตนเอง  $c_k(t - nT_s)$  ถ้าให้  $y_k^n$  เป็นสัญญาณออกจากเครื่องรับแบบแมตซ์ของผู้ใช้ลำดับที่ k ที่เวลา  $nT_s$  จะสามารถเขียนเวกเตอร์ของสัญญาณออกจากเครื่องรับแบบแมตซ์ของผู้ใช้ทุกคนที่เวลา  $nT_s$  ได้เป็น

$$Y_n = \Gamma \cdot A_n \cdot D_n + M_n \quad (2-4)$$

$$Y_n = \text{diag}(\Gamma) \cdot A_n \cdot D_n + \overline{\text{diag}(\Gamma)} \cdot A_n \cdot D_n + M_n \quad (2-5)$$

โดยที่  $Y_n = [y_1^n \cdots y_k^n]^T$ ,  $D_n = [d_1^n \cdots d_k^n]^T$ ,

$A_n$  เป็นเมทริกซ์ที่มีสมาชิกเป็น 0 ยกเว้นในแนวทแยงมุมเป็น  $a_1^n \cdots a_k^n$

$\Gamma$  เป็นเมทริกซ์สหสัมพันธ์ระหว่างสเปกตรัมได้คของผู้ใช้ซึ่งมีขนาด  $K \times K$  ดังนี้

$$\Gamma = \begin{bmatrix} \|c_1\|^2 & \cdots & \langle c_k, c_1 \rangle \\ \vdots & & \vdots \\ \langle c_1, c_k \rangle & \cdots & \|c_k\|^2 \end{bmatrix} = \begin{bmatrix} \Gamma_1 \\ \vdots \\ \Gamma_K \end{bmatrix} \quad (2-6)$$

โดยที่  $\langle c_i, c_j \rangle = \int_0^T c_i(t)c_j(t)dt$ ,

สัญญาณรบกวนที่ออกจากเครื่องรับแบบแมตซ์เขียนได้เป็น  $M_n = [m_1^n \cdots m_k^n]^T$ ,

โดยที่

$$m_i^n = \int_{nr}^{(n+1)r} c_i(t-nr)m(t)dt \quad (2-7)$$

และสามารถเขียนเมทริกซ์สหสัมพันธ์ตัวเองของสัญญาณรบกวนนี้ได้เป็น  $E(M_n M_n^T) = \Gamma \sigma^2$

เมื่อให้  $diag(\Gamma)$  เป็นเมทริกซ์ซึ่งมีสมาชิกของเมทริกซ์ในแนวทแยงมุมเป็นค่าเดียวกับสมาชิกของเมทริกซ์  $\Gamma$  ส่วนสมาชิกอื่นๆเป็นศูนย์ และ  $\overline{diag}(\Gamma)$  เป็นเมทริกซ์ซึ่งมีสมาชิกเหมือนกับเมทริกซ์  $\Gamma$  ยกเว้นสมาชิกในแนวเส้นทแยงมุมเป็นศูนย์ แล้วจะสังเกตได้ว่าเทอม  $diag(\Gamma) \cdot A_n \cdot D_n$  เป็นเทอมของข้อมูลที่ผู้ใช้ส่งมาส่วนเทอม  $\overline{diag}(\Gamma) \cdot A_n \cdot D_n$  เป็นเทอมของ MAI จากผู้ใช้คนอื่นๆที่มาควมนั่นเอง สำหรับเครื่องรับแบบแมตซ์ สัญญาณ  $Y_n$  ที่ได้ตรงนี้จะถูกนำไปตัดสัญญาณ

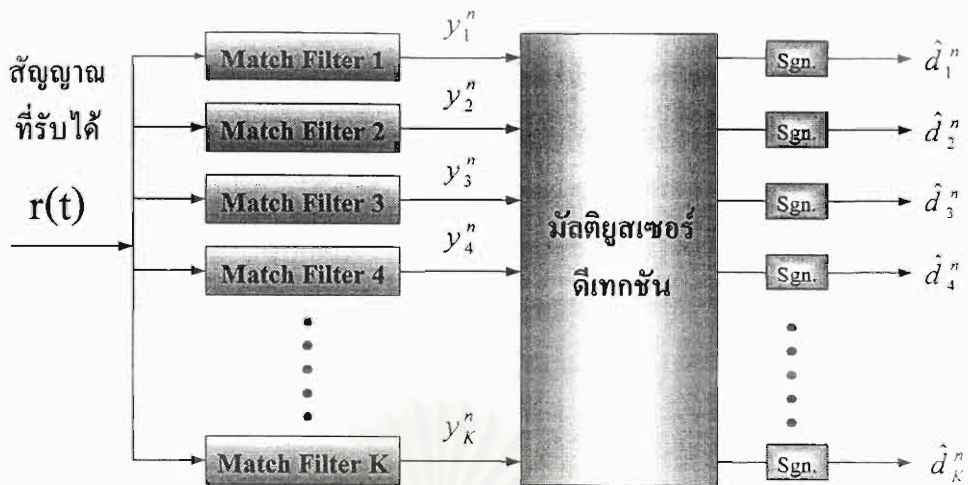
$$\hat{D}_n = \text{sgn}(Y_n) \quad (2-8)$$

นั่นคือเครื่องรับแบบแมตซ์นี้คิดเสมือนว่า MAI เป็นสัญญาณรบกวนดังนั้นเครื่องรับแบบนี้จะถูกจำกัดความสามารถด้วย MAI

### 2.4.3.3 การนำมัลติยูสเซอร์ดีเทกชันเข้าไปในระบบ

ในกรณีที่มีการนำมัลติยูสเซอร์ดีเทกชันมาใช้ที่ด้านรับ สัญญาณที่ออกจากเครื่องรับแบบแมตซ์จะยังไม่ถูกส่งไปตัดสัญญาณ แต่จะถูกส่งไปเข้ามัลติยูสเซอร์ดีเทกชันก่อน หลังจากนั้นจึงทำการตัดสัญญาณ ดังรูปที่ 2.5 นอกจากนั้นในกรณีมัลติยูสเซอร์ดีเทกชันแบบป้อนกลับนั้นจะต้องมีการนำสัญญาณออกของเครื่องรับแบบแมตซ์จากผู้ใช้ทุกๆคนมาเรียงตามลำดับความแรงของสัญญาณก่อนที่จะถูกส่งเข้าไปสู่มัลติยูสเซอร์ดีเทกชันแบบป้อนกลับพร้อมๆกันด้วย





รูปที่ 2.5 แสดงแบบจำลองด้านรับเมื่อใช้มัลติเพลกซ์เตอร์ดีเทกชันที่ด้านรับ

## 2.5 วิธีการวัดสมรรถนะและความหมายของตัววัดสมรรถนะต่างๆ

### 2.5.1 BER (Bit Error Rate) หรือ BEP (Bit Error Probability)

ตามปกติแล้วค่าที่แสดงถึงสมรรถนะของระบบที่สนใจจะถูกแสดงอยู่ในรูป Bit Error Rate (BER) หรือ Bit Error Probability (BEP) เมื่ออยู่ในสภาวะต่างๆ เช่น เมื่อ SNR เปลี่ยนไป หรือ จำนวนผู้ใช้เปลี่ยนไป เป็นต้น ตามปกติแล้วค่า BER ของเครื่องรับแบบปรับตัวได้นั้นจะเริ่มนับเมื่อการปรับตัวเข้าสู่สภาวะอยู่ตัว (steady state) ซึ่งในวิทยานิพนธ์นี้ได้ปรับค่าน้ำหนักถ่วงของเครื่องรับชนิดปรับตัวได้แบบอาศัยเทรนนิ่งซีแควนซ์และแบบไม่อาศัยเทรนนิ่งซีแควนซ์ไป 2000 บิตเท่ากัน แล้วหลังจากนั้นจะหยุดการปรับค่าน้ำหนักถ่วงของเครื่องรับแล้วเริ่มนับค่า BER หลังจากนั้นซึ่งค่า 2000 บิตนี้เป็นค่าเดียวกันกับที่ใช้ในบทความเกี่ยวกับมัลติเพลกซ์เตอร์ดีเทกชันแบบปรับตัวเองโดยอิตโนมิตของ Schodorf [23] สำหรับค่าช่วงก้าวที่เลือกจะเลือกค่าช่วงก้าวที่ทำให้ค่า BER เฉลี่ยของระบบโดยรวมหลัง 2000 บิตนี้ดีที่สุดซึ่งจะให้ค่าน้ำหนักถ่วงอยู่ในช่วงประมาณ 2000 บิต

### 2.5.2 SNR (Signal to Noise Ratio)

สำหรับค่า SNR ในวิทยานิพนธ์นี้จะหมายถึงค่า SNR ของสัญญาณที่ออกจากเครื่องรับแบบแมตซ์ ซึ่งมีนิยามในหน่วย dB ดังนี้

$$SNR_k = 10 \log \left( \frac{\Gamma_{k,k} a_k^2}{\sigma^2} \right) \quad (2-9)$$

### 2.5.3 ความทนทานต่อปรากฏการณ์ใกล้-ไกล

ความทนทานต่อปรากฏการณ์ใกล้-ไกลเป็นตัวบอกลถึงความทนทานของเครื่องรับนั้นต่อปรากฏการณ์ใกล้-ไกล สำหรับมัลติยูสเซอร์ดีเทกชันแบบป้อนกลับซึ่งเป็นเครื่องรับแบบไม่เชิงเส้นนั้นการจะหาความทนทานต่อปรากฏการณ์ใกล้-ไกลในรูปของสมการจะมีความยุ่งยากมากต่างจากเครื่องรับแบบเชิงเส้น ดังนั้นปกติแล้วจะไม่มีกรหาออกมาในรูปของสมการ แต่จะแสดงอยู่ในรูปกราฟของ BER ของผู้ใช้ที่มีกำลังต่ำที่สุดเมื่อ SNR ของผู้ใช้คนอื่นๆเพิ่มขึ้น มัลติยูสเซอร์ดีเทกชันที่มีความทนทานต่อปรากฏการณ์ใกล้-ไกลนั้นค่า BER ไม่ควรเพิ่มขึ้นเมื่อ SNR ของผู้ใช้คนอื่นๆเพิ่มขึ้น

### 2.5.4 ขอบเขตผู้ใช้รายเดียว (single user bound)

ถ้าพิจารณาระบบจริงๆอย่างคร่าวๆ โดยให้สัญญาณแทรกสอดในระบบเกิดจากสัญญาณของผู้ใช้ในระบบเท่านั้น จะสามารถแบ่งสัญญาณแทรกสอดของผู้ใช้ในระบบนี้ออกเป็นสองประเภท คือสัญญาณแทรกสอดที่เกิดภายในเซลล์ (intracell interference) และสัญญาณแทรกสอดที่เกิดขึ้นระหว่างเซลล์ (intercell interference) [4] สำหรับสัญญาณแทรกสอดที่มาจากผู้ใช้ในเซลล์อื่นจะไม่สามารถกำจัดได้ด้วยมัลติยูสเซอร์ดีเทกชัน ส่วนสัญญาณแทรกสอดซึ่งมาจากผู้ใช้ในเซลล์ที่มัลติยูสเซอร์ดีเทกชันทำงานอยู่สามารถกำจัดได้โดยมัลติยูสเซอร์ดีเทกชัน ดังนั้นสมรรถนะที่ดีที่สุดของระบบซึ่งใช้มัลติยูสเซอร์ดีเทกชันก็คือ สมรรถนะของระบบที่ไม่มีการรบกวนจาก MAI ในเซลล์ที่มัลติยูสเซอร์ดีเทกชันทำงานอยู่ สำหรับวิทยานิพนธ์นี้จะพิจารณาในกรณีเซลล์เดียวเท่านั้นจึงไม่มีผลจากการรบกวนของผู้ใช้จากเซลล์อื่นๆ

ถ้าหากระบบมีผู้ใช้รายที่ต้องการเท่านั้นที่ส่งข้อมูลอยู่ในเซลล์ เครื่องรับแบบแมตซ์จะเป็นเครื่องรับที่ดีที่สุดแล้วในการรับสัญญาณ เนื่องจากในกรณีมีผู้ใช้คนเดียวไม่มี MAI เกิดขึ้น ดังนั้นเมื่อใช้มัลติยูสเซอร์ดีเทกชันในการกำจัด MAI สมรรถนะที่ได้จะไม่ดีไปกว่าสมรรถนะในกรณีที่ในระบบมีผู้ใช้รายที่ต้องการส่งข้อมูลอยู่เพียงคนเดียวและรับด้วยเครื่องรับแบบแมตซ์ หรือกล่าวได้ว่าเป็นขอบเขตของมัลติยูสเซอร์ดีเทกชันซึ่งขอบเขตตรงนี้จะถูกเรียกว่าขอบเขตผู้ใช้รายเดียว (Single user bound)

## 2.6 ดีคอรรีเลเตอร์และมัลติยูสเซอร์ดีเทกชันแบบป้อนกลับ

หัวข้อนี้จะกล่าวถึงหลักการของมัลติยูสเซอร์ดีเทกชันแบบดีคอรรีเลเตอร์ชนิดนำน้ำหนักถ่วงคงที่และมัลติยูสเซอร์ดีเทกชันแบบป้อนกลับชนิดนำน้ำหนักถ่วงคงที่และชนิดปรับค่านำหนักถ่วงด้วยอัลกอริทึม LMS (Least Mean Square algorithm) โดยมัลติยูสเซอร์ดีเทกชันแบบดีคอรรีเลเตอร์เป็นมัลติยูสเซอร์ดีเทกชันที่มีความสัมพันธ์ใกล้ชิดกับมัลติยูสเซอร์ดีเทกชันแบบป้อนกลับ นั่นคือสามารถมองมัลติยูสเซอร์ดีเทกชันแบบป้อนกลับเสมือนว่าเป็นเครื่องรับแบบดีคอรรีเลเตอร์บางส่วนได้ และในกรณีปกติแล้วมัลติยูสเซอร์ดีเทกชันแบบป้อนกลับจะมีสมรรถนะไม่ด้อยกว่ามัลติยูสเซอร์ดีเทกชันแบบดีคอรรีเลเตอร์ ยกเว้นในกรณีที่มีการเรียงลำดับและประมาณค่าขนาดของสัญญาณผิดพลาดอย่างมาก ซึ่งเครื่องรับทั้ง 2 ชนิดนี้จะถูกวางอยู่หลังเครื่องรับแบบแมตซ์ นั่นคือจะนำเอาสัญญาณที่ผ่านออกจากเครื่องรับแบบแมตซ์ที่ยังไม่ได้ตัดสินใจของผู้ใช้ทุกคนป้อนเข้าไปสู่เครื่องรับนั้นๆ

### 2.6.1 ดีคอรรีเลเตอร์

เครื่องรับแบบดีคอรรีเลเตอร์ถูกเสนอขึ้นโดย Lupas [13] โดยมีผลตอบของเครื่องรับเป็นอินเวอร์สของเมตริกซ์สหสัมพันธ์ของสเปรคดิงโค้ด ดังสมการ (2-10)

$$T = \Gamma^{-1} \quad (2-10)$$

เครื่องรับดีคอรรีเลเตอร์จะถูกวางอยู่หลังเครื่องรับแบบแมตซ์ และจากหัวข้อก่อนหน้าพบว่าสัญญาณออกจากเครื่องรับแบบแมตซ์ซึ่งยังไม่ได้ตัดสินใจจะสามารถเขียนได้ตามสมการ (2-4) ดังนั้นสัญญาณออกจากดีคอรรีเลเตอร์สามารถเขียนได้เป็น

$$Z_{,,} = \Gamma^{-1} (\Gamma \cdot A_{,,} \cdot D_{,,} + M_{,,}) \quad (2-11)$$

$$Z_{,,} = A_{,,} \cdot D_{,,} + \Gamma^{-1} M_{,,} \quad (2-12)$$

โดยที่ สัญญาณรบกวน  $M'_{,,} = \Gamma^{-1} M_{,,}$  จะมีเมตริกซ์สหสัมพันธ์ตัวเองเป็น

$$E(M'_{,,} M'^{T}_{,,}) = \Gamma^{-1} \sigma^2$$

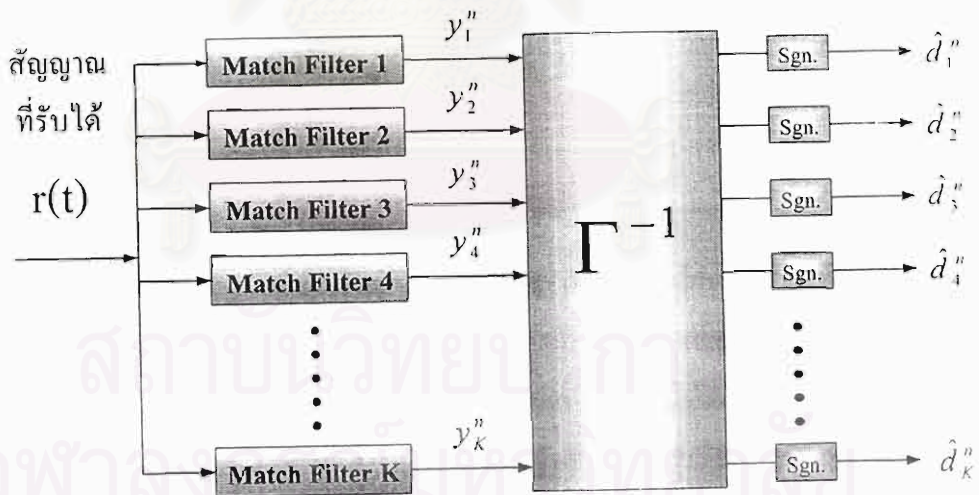
ดังนั้น ความน่าจะเป็นที่ผู้ใช้ลำดับที่  $k$  จะตรวจจับสัญญาณผิดมีค่าเป็น

$$P_{e,k} (\text{decorrelator}) = Q\left(\sqrt{\frac{(a''_k)^2}{(\Gamma^{-1})_{k,k} \sigma^2}}\right) \quad (2-13)$$

โดยที่  $Q$  เป็นฟังก์ชันซึ่งนิยามเป็น  $Q(x) = \frac{1}{2\pi} \int_x^\infty e^{-\frac{y^2}{2}} dy$

จากสมการ (2-12) จะพบว่าเครื่องรับแบบนี้จะสามารถกำจัด MAI ได้ทั้งหมด ดังนั้นจึงมีประสิทธิภาพดีเหนือเครื่องรับแบบแมตช์มาก แต่อย่างไรก็ตามสมรรถนะของเครื่องรับนี้จะไม่ดีนักในกรณีที่มีสัญญาณรบกวนสูงๆ เนื่องจากตัวคิอริเลเตอร์จะไปเพิ่มผลของสัญญาณรบกวน (ผลของพจน์สุดท้ายในสมการ (2-12)) นั่นคือ เครื่องรับแบบแมตช์มีกำลังออกของสัญญาณที่ต้องการเป็น  $(\Gamma_{k,k} a_k'')^2$  และถูกรบกวนด้วยสัญญาณรบกวนซึ่งมีกำลัง  $\Gamma_{k,k} \sigma^2$  แต่คิอริเลเตอร์มีกำลังออกของสัญญาณที่ต้องการเป็น  $(a_k'')^2$  และถูกรบกวนด้วยสัญญาณรบกวนซึ่งมีกำลัง  $(\Gamma^{-1})_{k,k} \sigma^2$  ซึ่งตามปกติแล้ว  $(\Gamma^{-1})_{k,k}$  จะมีค่ามากกว่า  $\frac{1}{\Gamma_{k,k}}$  ดังนั้นเมื่อเทียบสัดส่วนของข้อมูลออกขนาดเท่ากัน สัญญาณรบกวนหลังผ่านคิอริเลเตอร์มีค่ามากกว่า หรืออาจกล่าวได้ว่าคิอริเลเตอร์มีคุณสมบัติเพิ่มสัญญาณรบกวน (enhance noise) ดังนั้นในกรณีที่สัญญาณรบกวนมีผลรุนแรงกว่า MAI อาจทำให้การใช้เครื่องรับแบบคิอริเลเตอร์มีสมรรถนะด้อยกว่าเครื่องรับแบบแมตช์

แต่อย่างไรก็ตามเครื่องรับแบบนี้ก็มีข้อดีอย่างมากในเรื่องที่ไม่ต้องอาศัยค่าขนาดของสัญญาณในการคำนวณทำให้ไม่มีความผิดพลาดเนื่องจากการประมาณค่าขนาดของสัญญาณสำหรับความทนทานต่อปรากฏการณ์ไกล์-ไกลอนั้นเครื่องรับแบบนี้ถือว่าเป็นเครื่องรับที่มีความทนทานต่อปรากฏการณ์ไกล์-ไกลอย่างสมบูรณ์ นั่นคือกำลังของสัญญาณจากผู้ใช้คนอื่นๆจะไม่ส่งผลกระทบต่อสมรรถนะของผู้ใช้คนที่ต้องการเลย การตรวจจับข้อมูลโดยใช้มัลติยูเซอร์ดีเทกชันแบบคิอริเลเตอร์แสดงอยู่ในรูปที่ 2.6



รูปที่ 2.6 การตรวจจับสัญญาณ โดยใช้คิอริเลเตอร์

## 2.6.2 มัลติยูสเซอร์ดีเทกชันแบบป้อนกลับ

(Decorrelating Decision Feedback Multiuser Detection, DDFMD)

มัลติยูสเซอร์ดีเทกชันแบบป้อนกลับถูกเสนอขึ้นโดย A. Duel-Hallen [19] วิธีการของเครื่องรับแบบนี้จะเริ่มจากการแยกเมตริกซ์สหสัมพันธ์ของสเปกตรัมได้  $\Gamma$  ออกเป็นเมตริกซ์สามเหลี่ยมบนควบคู่กับเมตริกซ์สามเหลี่ยมล่าง โดยที่เมตริกซ์สามเหลี่ยมบนจะเป็นทรานสโพสของเมตริกซ์สามเหลี่ยมล่าง ซึ่งสามารถแยกเมตริกซ์  $\Gamma$  นี้โดยใช้ cholesky decomposition (ใช้นิยามตาม [19] สามารถดูรายละเอียดได้ในภาคผนวก ข) ในที่สุดจะได้เป็น

$$\Gamma = F^T F \quad (2-14)$$

เมตริกซ์  $F$  ที่ได้จะเป็นเมตริกซ์สามเหลี่ยมล่าง และ  $f_{i,j}$  เป็นสมาชิกที่  $(i, j)$  ของเมตริกซ์  $F$  โดยที่  $i = 1, \dots, K$  และ  $j = 1, \dots, K$  หลังจากหาเมตริกซ์  $F$  ได้แล้ว นำสัญญาณที่ได้จากเครื่องรับแบบแมตซ์ไปผ่านวงจรกรองซึ่งมีผลตอบเป็น  $(F^T)^{-1}$  จะได้

$$Z_n = (F^T)^{-1} Y_n = (F^T)^{-1} (F^T F \cdot A_n \cdot D_n + M_n) \quad (2-15)$$

$$Z_n = F \cdot A_n \cdot D_n + U_n \quad (2-16)$$

โดยที่  $U_n$  จะเป็นสัญญาณรบกวนเกาส์เซียนแบบขาว และมีเมตริกซ์สหสัมพันธ์ตัวเองเป็น

$$E(U_n U_n^T) = \sigma^2 I$$

ดังนั้น อาจมองได้ว่าวงจรกรองป้อนไปข้างหน้านี้เป็น whitening filter นั่นเอง และเขียนส่วนประกอบที่  $k$  ของ  $Z_n$  ได้เป็น

$$z_k^n = f_{k,k} a_k^n \cdot d_k^n + \sum_{i=1}^{k-1} f_{k,i} a_i^n d_i^n + u_k^n \quad (2-17)$$

จากสมการ (2-17) พจน์  $f_{k,k} a_k^n d_k^n$  คือพจน์ที่เป็นสัญญาณจากบิตข้อมูลของผู้ใช้คนที่  $k$  จริงๆ และพจน์  $f_{k,i} a_i^n d_i^n$  คือพจน์ที่เป็น MAI จากบิตข้อมูลของผู้ใช้คนที่  $i$  กวนคนที่  $k$  ดังนั้นจะพบว่าหลังจากผ่านวงจรกรองซึ่งมีผลตอบ  $(F^T)^{-1}$  (ในที่นี้จะเรียกเป็นวงจรกรองป้อนไปข้างหน้า) แล้วจะมีแต่ผลการรบกวนของผู้ใช้ที่มีลำดับต่ำกว่ามันเท่านั้น นั่นคือมีแต่การรบกวนจากผู้ใช้คนที่  $i < k$  เท่านั้น หมายความว่าวงจรกรอง  $(F^T)^{-1}$  ตัวนี้ทำหน้าที่กำจัด MAI จากผู้ใช้ที่มีลำดับสูงกว่าผู้ใช้ที่พิจารณาทั้งหมด ซึ่งก็จะพบว่ามีลักษณะคล้ายกับเครื่องรับแบบคิกอริเทเตอร์เพียงแต่กำจัด MAI ไปครั้งเดียวเท่านั้น

หลังจากนั้นสัญญาณที่ออกจากวงจรกรอง  $(F^T)^{-1}$  จะเข้าไปสู่ส่วนป้อนกลับซึ่งทำหน้าที่กำจัด MAI จากคนที่มีลำดับต่ำกว่าโดยการหักล้าง โดยคำว่าป้อนกลับในที่นี้ไม่ได้หมายถึงการป้อน



กลับจริงๆ ซึ่งคือการป้อนกลับสัญญาณของผู้ใช้คนเดิมกลับไปหาคนเดิม หากแต่เป็นการป้อนสัญญาณจากผู้ใช้คนที่ตัดสินใจไปแล้วไปหาผู้ใช้คนอื่นๆ ซึ่งยังไม่ได้ตัดสินใจซึ่งจะได้กล่าวต่อไป นั่นคือการทำงานในส่วนป้อนกลับสามารถถูกจัดประเภทไว้ในประเภทหักล้างกันอย่างต่อเนื่องได้ (ไม่ใช่เครื่องรับแบบป้อนกลับจริงๆ) หรืออาจกล่าวได้ว่ามัลติยูสเซอร์ดีเทกชันแบบป้อนกลับนี้เป็น การผสมผสานระหว่างดีคอดริเตอร์บางส่วนและหักล้างกันอย่างต่อเนื่องบางส่วน

สำหรับการทำงานของส่วนป้อนกลับจะสามารถอธิบายได้โดยพิจารณาสมการ (2-17) ซึ่ง จะสังเกตได้ว่าสัญญาณที่ผ่านวงจรกรองป้อนไปข้างหน้าออกมาของผู้ใช้คนแรก ( $k = 1$ ) จะไม่มี MAI อยู่เลย ดังนั้นสัญญาณตรงนี้สามารถนำไปตัดสินใจให้เป็นบิตข้อมูลของผู้ใช้คนที่ 1 ได้ทันที และเพราะว่าพจน์  $f_{2,1}a_1^n d_1^n$  เป็นพจน์ของ MAI จากผู้ใช้คนที่ 1 ที่ไปรบกวนผู้ใช้คนที่ 2 ดังนั้น สามารถนำบิตข้อมูลที่ตัดสินใจไปแล้วของผู้ใช้คนที่ 1 คือ  $\hat{d}_1^n$  ไปช่วยกำจัด MAI ให้ผู้ใช้คนที่ 2 ได้ โดยที่ต้องหน่วงเวลาสัญญาณของผู้ใช้คนที่ 2 เพื่อรอให้ผู้ใช้คนที่ 1 ตัดสินใจเสร็จก่อน แล้วหลังจากนั้นนำบิตของผู้ใช้คนที่ 1 ที่ตัดสินใจเสร็จแล้ว คือ  $\hat{d}_1^n$  ไปคูณกับ  $f_{2,1}$  ซึ่งเป็นสมาชิกของเมตริกซ์  $F$  ที่หาได้ในตอนต้นและคูณกับค่าขนาดของสัญญาณ  $a_1^n$  ซึ่งประมาณได้ที่ด้านรับ โดยในที่นี้ถือว่า ประมาณได้อย่างถูกต้อง นั่นคือ จะหักล้าง MAI  $f_{2,1}a_1^n d_1^n$  ของผู้ใช้คนที่ 1 ที่มีต่อผู้ใช้คนที่ 2 ด้วย  $f_{2,1}a_1^n \hat{d}_1^n$  และถ้าถือว่าประมาณ  $\hat{d}_1^n$  ได้ถูกต้อง MAI ของผู้ใช้คนที่ 2 จะถูกหักล้างหมดไปจึง สามารถนำสัญญาณหลังหักล้างของผู้ใช้คนที่ 2 ไปตัดสินใจได้ทันทีแล้วหลังจากนั้นบิตที่ตัดสินใจ นี้ก็จะสามารถนำไปช่วยหักล้าง MAI ให้กับผู้ใช้คนอื่นๆ ซึ่งมีลำดับสูงกว่ามันได้เช่นเดียวกัน กระบวนการนี้สามารถใช้ไปเรื่อยๆ โดยสามารถเขียนกระบวนการตัดสินใจบิตข้อมูลของผู้ใช้คนที่  $k$  ได้เป็น

$$\hat{d}_k^n = \text{sgn}(z_k^n - \sum_{i=1}^{k-1} f_{k,i} a_i^n \hat{d}_i^n) \quad (2-18)$$

นิยามให้เมตริกซ์  $R$  เป็น

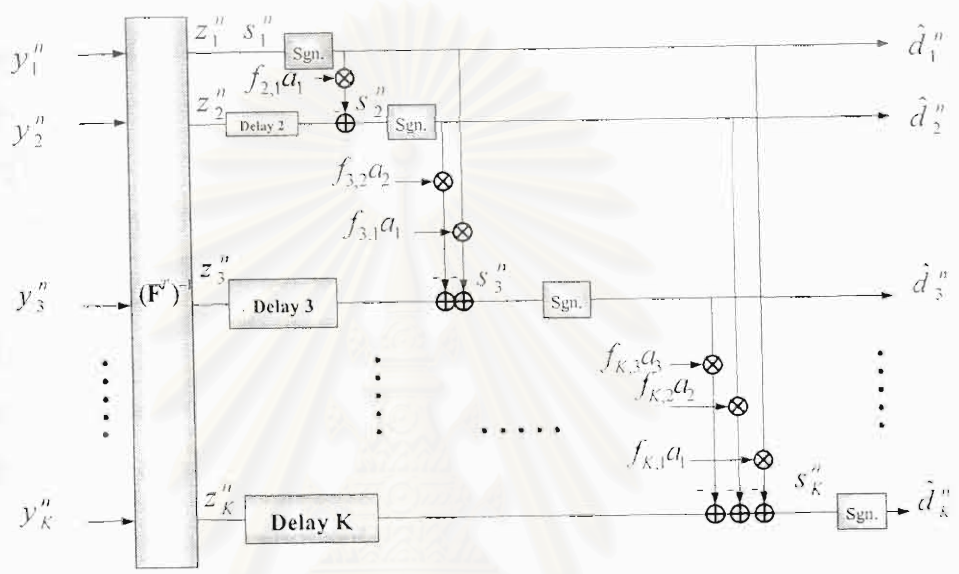
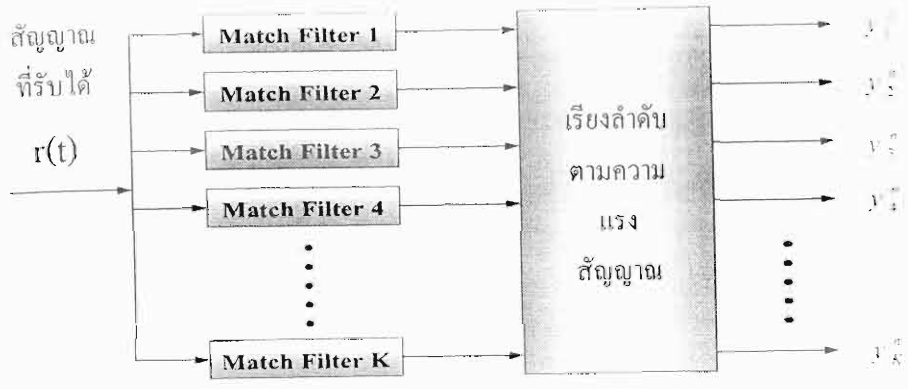
$$R = \overline{\text{diag}(F)} = \begin{bmatrix} 0 & \cdots & \cdots & \cdots & 0 \\ f_{2,1} & 0 & \cdots & \cdots & 0 \\ f_{3,1} & f_{3,2} & 0 & \cdots & 0 \\ \vdots & \vdots & \ddots & \ddots & \vdots \\ f_{K,1} & \cdots & \cdots & f_{K,K-1} & 0 \end{bmatrix} \quad (2-19)$$

โดยที่  $f_{i,j}$  เป็นสมาชิกที่  $(i, j)$  ของเมตริกซ์  $F$

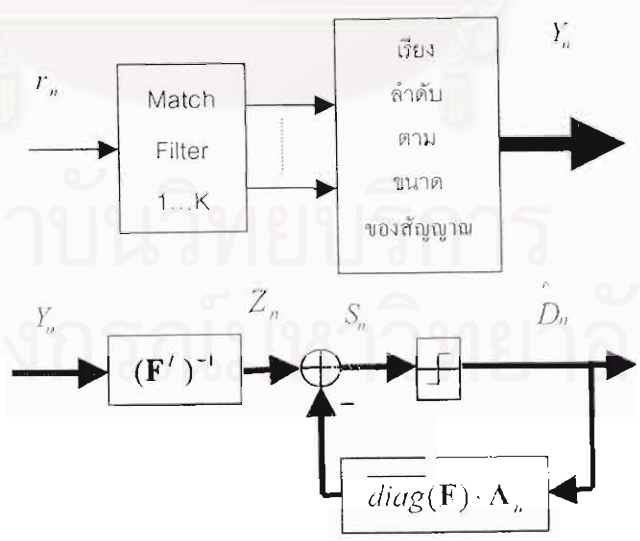
จะสามารถเขียนกระบวนการตัดสินใจบิตได้เป็น

$$\hat{D}_n = \text{sgn}(S_n) \quad (2-20)$$





รูปที่ 2.7.1 โครงสร้างของมัลติยูเซอร์ดีเทกชันแบบป้อนกลับ



รูปที่ 2.7.2 มัลติยูเซอร์ดีเทกชันแบบป้อนกลับเมื่อเขียนอยู่ในรูปบล็อกไดอะแกรมแบบป้อนกลับ

โดยที่

$$S_n = (Z_n - R \cdot A_n \cdot \hat{D}_n) = [s_1^n \cdots s_K^n]^T \quad (2-21)$$

และสัญญาณรบกวนหลังผ่านออกจากมัลติเพลกเซอร์ดีเทกชันแบบป้อนกลับจะมีสหสัมพันธ์ตัวเองเป็น  $E(U_n U_n^T) = \sigma^2 I$

เครื่องรับมัลติเพลกเซอร์แบบป้อนกลับนี้จะให้ผลดีก็ต่อเมื่อมีการเรียงลำดับพลังงานของผู้ใช้ด้วยคือ ควรทำการหักล้างผู้ใช้ที่มีกำลังสูงออกจากสัญญาณของผู้ใช้ที่มีกำลังต่ำกว่าเท่านั้น เนื่องจากบิตข้อมูลที่ตรวจจับได้จากสัญญาณของผู้ใช้ที่มีกำลังสูงจะเชื่อถือได้มากกว่า โดยในที่นี้สัญญาณออกจากเครื่องรับแบบแมตซ์จะถูกนำมาเรียงตามลำดับกำลังที่มาถึงจากสูงไปต่ำแล้วจึงผ่านเข้าไปที่มัลติเพลกเซอร์ดีเทกชันแบบป้อนกลับ บล็อกไดอะแกรมของมัลติเพลกเซอร์ดีเทกชันแบบป้อนกลับแสดงอยู่ในรูปที่ 2.7.1 และ 2.7.2 ซึ่งในรูป 2.7.2 นั้นเส้นสัญญาณซึ่งเป็นเส้นหนาจะแทนสัญญาณ  $K$  สัญญาณซึ่งขนานกันอยู่

อาจพิจารณาได้ว่ามัลติเพลกเซอร์ดีเทกชันแบบป้อนกลับเป็นมัลติเพลกเซอร์ดีเทกชันแบบคิอริเลเตอร์บางส่วน(กำจัดความสัมพันธ์ของสัญญาณจากผู้ใช้ที่มีกำลังต่ำออกจากผู้ใช้ที่ต้องการ) และหักล้างอย่างต่อเนื่องบางส่วน(บิตข้อมูลที่ตรวจจับได้ของผู้ใช้ที่มีกำลังสูงถูกนำไปใช้ต่อในการหักล้างสัญญาณแทรกสอดให้กับผู้ใช้ที่มีกำลังต่ำกว่า)

สำหรับสมรรถนะของมัลติเพลกเซอร์ดีเทกชันแบบป้อนกลับนี้จะดีกว่าหรือเท่ากับเครื่องรับแบบคิอริเลเตอร์ในกรณีที่ประมาณค่าขนาดของสัญญาณที่มาถึงได้ถูกต้องหรือใกล้เคียง แต่อาจมีสมรรถนะด้อยกว่าในกรณีที่ประมาณค่าขนาดของสัญญาณที่มาถึงผิดพลาดไปมาก นอกจากนั้นการเรียงลำดับตามขนาดของสัญญาณเพื่อป้อนเข้าสู่มัลติเพลกเซอร์ดีเทกชันแบบป้อนกลับก็ยังคงมีความสำคัญอีกด้วย ถ้าหากเรียงลำดับผิดพลาดไป คือเรียงลำดับผู้ใช้ที่มีกำลังต่ำอยู่เหนือผู้ใช้ที่มีกำลังสูงจะทำให้ในส่วนของ การป้อนกลับใช้ข้อมูลจากสัญญาณจากผู้ใช้ที่มีกำลังต่ำซึ่งเชื่อถือได้น้อยในการหักล้าง MAI ออกจากสัญญาณของผู้ใช้ที่มีกำลังสูงกว่าซึ่งเชื่อถือได้มากกว่าก็จะทำให้สมรรถนะของเครื่องรับแบบนี้ลดลง

นอกจากนั้นการที่มันมีคุณสมบัติเป็นคิอริเลเตอร์บางส่วนก็จะทำให้มันมีปัญหาคล้ายกับเครื่องรับแบบคิอริเลเตอร์นั่นคือ แม้จะสามารถกำจัด MAI ได้ แต่ก็จะไปเพิ่มผลของสัญญาณรบกวน(พจน์สุดท้ายของสมการ (2-16)) นั่นคือ สัญญาณออกจากเครื่องรับแบบแมตซ์มีกำลังของสัญญาณที่ต้องการเป็น  $(\Gamma_{k,k} a_k^n)^2$  และถูกรบกวนด้วยสัญญาณรบกวนซึ่งมีกำลัง  $\Gamma_{k,k} \sigma^2$  แต่สัญญาณออกจากมัลติเพลกเซอร์ดีเทกชันแบบป้อนกลับมีกำลังของสัญญาณที่ต้องการเป็น  $(f_{k,k} a_k^n)^2$  และถูกรบกวนด้วยสัญญาณรบกวนซึ่งมีกำลัง  $\sigma^2$  ตามปกติแล้ว  $\frac{1}{(f_{k,k})^2}$  จะมีค่ามาก

กว่า  $\frac{1}{\Gamma_{k,k}}$  (ยกเว้นผู้ใช้ในลำดับสุดท้ายจะมีค่าทั้งสองนี้เท่ากัน) ดังนั้นเมื่อเทียบสัดส่วนของข้อมูลออกขนาดเท่ากันสัญญาณรบกวนหลังผ่านมัลติยูสเซอร์ดีเทกชันแบบป้อนกลับมีค่ามากกว่า ทำให้ในกรณีที่ผลของสัญญาณรบกวนมีผลมากกว่า MAI การใช้มัลติยูสเซอร์ดีเทกชันแบบป้อนกลับจะให้ผลไม่ดี จนบางครั้งอาจด้อยกว่าเครื่องรับแบบแมตซ์ได้เช่นเดียวกับเครื่องรับแบบดิคอรีเลเตอร์ แต่อย่างไรก็ตามมัลติยูสเซอร์ดีเทกชันแบบป้อนกลับจะเพิ่มผลของสัญญาณรบกวนน้อยกว่าเครื่องรับแบบดิคอรีเลเตอร์ เนื่องจากปกติแล้ว  $\frac{1}{(f_{k,k})^2}$  จะมีค่าน้อยกว่า  $(\Gamma^{-1})_{k,k}$  (ยกเว้นในผู้ใช้ลำดับแรกจะมีค่าทั้งสองนี้เท่ากัน) ซึ่งผลทั้งหมดนี้ได้แสดงดังตาราง 2.1.1 และ 2.1.2

ตารางที่ 2.1.1 กำลังออกของข้อมูลที่ต้องการและสัญญาณรบกวนที่ออกจากเครื่องรับต่างๆ

เครื่องรับ	กำลังออกของข้อมูลที่ต้องการ	กำลังออกของสัญญาณรบกวน
เครื่องรับแบบแมตซ์	$(\Gamma_{k,k} a_k'')^2$	$\Gamma_{k,k} \sigma^2$
ดิคอรีเลเตอร์	$(a_k'')^2$	$(\Gamma^{-1})_{k,k} \sigma^2$
มัลติยูสเซอร์ดีเทกชันแบบป้อนกลับ	$(f_{k,k} a_k'')^2$	$\sigma^2$

ตารางที่ 2.1.2 กำลังออกของข้อมูลที่ต้องการและสัญญาณรบกวนที่ออกจากเครื่องรับต่างๆ เมื่อเทียบที่สัดส่วนของข้อมูลออกเท่ากัน

เครื่องรับ	กำลังออกของข้อมูลที่ต้องการ	กำลังออกของสัญญาณรบกวน
เครื่องรับแบบแมตซ์	$(a_k'')^2$	$\frac{1}{\Gamma_{k,k}} \sigma^2$
ดิคอรีเลเตอร์	$(a_k'')^2$	$(\Gamma^{-1})_{k,k} \sigma^2$
มัลติยูสเซอร์ดีเทกชันแบบป้อนกลับ	$(a_k'')^2$	$\frac{1}{(f_{k,k})^2} \sigma^2$

$$\text{โดยที่ } \frac{1}{\Gamma_{k,k}} \leq \frac{1}{(f_{k,k})^2} \leq (\Gamma^{-1})_{k,k}$$

### 2.6.2.1 สมรรถนะในกรณีอุดมคติ

เมื่อพิจารณาที่สภาวะอยู่ตัวกรณีอุดมคติ คือ มีสมมติฐานว่าบิตข้อมูลที่ตรวจจับไปแล้วของผู้ใช้ลำดับก่อนหน้าผู้ใช้ที่พิจารณาถูกต้องทุกคนและทราบค่าขนาดของสัญญาณของผู้ใช้แต่ละคนที่มาถึงด้านรับอย่างถูกต้อง ทำให้วงจรกรองป้อนกลับสามารถกำจัด MAI ให้กับผู้ใช้ที่พิจารณาได้หมด ภายใต้สมมติฐานนี้จะพบว่าสัญญาณออกจากมัลติยูสเซอร์ดีเทกแบบป้อนกลับของผู้ใช้ลำดับที่  $k$  จะมีค่าความน่าจะเป็นที่จะเกิดความผิดพลาดในการตรวจจับบิตข้อมูลเป็น [19]

$$Pe_k(DDFMD) = Q\left(\sqrt{\frac{(\int_{k,k} a_k^n)^2}{\sigma^2}}\right) \quad (2-22)$$

ซึ่งเมื่อเปรียบเทียบกับสมการ (2-13) ของดีคอรียูเตอร์แล้วจะพบว่าค่า BER ของมัลติยูสเซอร์ดีเทกชันแบบป้อนกลับจะต่ำกว่าหรือเท่ากับค่า BER ของดีคอรียูเตอร์เท่านั้น แต่อย่างไรก็ตามในกรณีนี้เป็นกรณีอุดมคติซึ่งตั้งสมมติฐานว่าข้อมูลที่ตรวจจับได้ของผู้ใช้คนก่อนหน้านี้นี้ถูกต้องและทราบค่าขนาดของสัญญาณของผู้ใช้แต่ละคนที่มาถึงด้านรับอย่างถูกต้อง ดังนั้นในกรณีทั่วไปค่า BER จะสูงกว่าสมการนี้ อย่างไรก็ตามขึ้นกับว่าข้อมูลที่ตรวจจับได้ของผู้ใช้คนก่อนหน้านี้นี้และค่าประมาณขนาดของสัญญาณที่มาถึงถูกต้องมากน้อยเพียงใด

### 2.6.3 มัลติยูสเซอร์ดีเทกชันแบบป้อนกลับที่มีกระบวนการปรับอัตโนมัติโดยใช้อัลกอริทึม LMS

มัลติยูสเซอร์ดีเทกชันแบบป้อนกลับเป็นมัลติยูสเซอร์ดีเทกชันที่ได้รับความสนใจชนิดหนึ่งโดยมีบทความต่างๆที่เกี่ยวข้องกับมัลติยูสเซอร์ดีเทกชันแบบป้อนกลับออกมาพอสมควร อย่างไรก็ตามมัลติยูสเซอร์ดีเทกชันแบบป้อนกลับก็มีปัญหาที่สำคัญคือ ในระบบจริงช่องสัญญาณมีการเปลี่ยนแปลงตลอดเวลา คือ มีการเข้ามาและหายไปของผู้ใช้ รวมทั้งมีการเปลี่ยนแปลงลำดับความแรงของผู้ใช้ตลอดเวลาทำให้ต้องทำการอินเวอร์สเมตริกซ์และหา cholesky decomposition เมตริกซ์ใหม่บ่อยๆทำให้ระบบมีความซับซ้อนอย่างมาก โดยเฉพาะกรณีที่มีผู้ใช้งานจำนวนมากๆ นอกจากนี้การที่ต้องใช้ค่าขนาดของสัญญาณในการคำนวณส่วนของวงจรกรองป้อนกลับ ยังทำให้สมรรถนะของเครื่องรับนี้ขึ้นกับค่าประมาณขนาดของสัญญาณว่าแม่นยำมากน้อยเพียงไร ซึ่งถ้าต้องการให้แม่นยำมากก็ต้องใช้กระบวนการประมาณค่าขนาดสัญญาณที่ซับซ้อน

P. Seite [12] ได้เสนอให้เปลี่ยนจากการหา cholesky decomposition และอินเวอร์สเมตริกซ์ในการคำนวณวงจรกรองป้อนไปข้างหน้าและป้อนกลับ มาเป็นให้วงจรกรองทั้งสองเป็นวงจรกรองแบบปรับตัวได้ ซึ่งวงจรกรองแบบปรับตัวได้นี้เป็นวงจรกรองที่อาศัยกระบวนการทำซ้ำเพื่อปรับค่าน้ำหนักถ่วงของวงจรกรองเองอย่างอัตโนมัติเพื่อให้ผลตอบสนองของวงจรกรองเข้าใกล้ผลตอบที่

ต้องการ และ P. Seite ได้ใช้กระบวนการการปรับอัตโนมัติโดยอัลกอริทึม LMS ในการปรับค่าน้ำหนักถ่วงของวงจรกรองทั้งสอง ซึ่งมีผลคือยูสเซอร์ดีเทกชันแบบป้อนกลับชนิดปรับตัวเองโดยอัตโนมัตินี้ นอกจากจะทำให้สามารถหลีกเลี่ยงการคำนวณเมตริกซ์ที่ซับซ้อนแล้วยังสามารถหลีกเลี่ยงการนำค่าประมาณขนาดของสัญญาณของผู้ใช้แต่ละคนซึ่งอาจมีข้อผิดพลาดมาใช้ในส่วนป้อนกลับได้อีกด้วย แต่อย่างไรก็ตามสิ่งที่ต้องสูญเสียไปในกรณีนี้คือการส่งเทรนนิ่งซีแควนซ์ ซึ่งผู้ใช้ทุกคนในระบบจำเป็นต้องทำการส่งเทรนนิ่งซีแควนซ์ทุกครั้งที่เกิดการเปลี่ยนแปลงขึ้นในระบบ เช่น มีผู้ใช้เข้าหรือออกจากระบบ

### 2.6.3.1 วิธี Steepest descent

วิธีต่างๆ ถูกคิดค้นขึ้นมาเพื่อให้สามารถปรับน้ำหนักถ่วงของวงจรกรองเข้าสู่ผลตอบที่ต้องการ ซึ่งหนึ่งในหลายวิธีนั้นก็มีวิธี steepest descent ซึ่งใช้การทำซ้ำหรือวิธีการปรับตัวเองในการเปลี่ยนแปลงค่าน้ำหนักถ่วงของวงจรกรองทีละเล็กทีละน้อยในทิศทางที่ลดค่าเฉลี่ยกำลังสองของค่าผิดพลาดในการประมาณมากที่สุด โดยจะปรับค่าน้ำหนักถ่วงดังนี้

$$W_{n+1} = W_n - \mu(\nabla J_n) \quad (2-23)$$

โดยที่  $W_n$  เป็นเวกเตอร์ของน้ำหนักถ่วงของวงจรกรอง (tap weight vector) ที่เวลา  $n$ ,  $\mu$  เป็นค่าช่วงก้าว (learning rate parameter หรือ step-size),  $J_n$  เป็นค่าเฉลี่ยกำลังสองของค่าผิดพลาดที่เวลา  $n$  และเกรเดียนต์เวกเตอร์  $\nabla J_n$  เป็นเวกเตอร์ของค่าเกรเดียนต์ของค่าเฉลี่ยกำลังสองของค่าผิดพลาดที่เวลา  $n$

### 2.6.3.2 อัลกอริทึม Least Mean Square (LMS)

Widrow และ Hoff ได้ประดิษฐ์อัลกอริทึม LMS ขึ้นมาเมื่อปีค.ศ.1960 อัลกอริทึม LMS นี้ จะใช้ข้อมูลที่มีอยู่มาหาค่าเกรเดียนต์ที่ช่วงเวลาใดๆ เพื่อนำมาประมาณค่าเกรเดียนต์จริงๆ ของวิธี steepest descent (ใช้เกรเดียนต์ที่ได้จากการประมาณแทนที่จะใช้เกรเดียนต์จริงๆ แบบวิธี steepest descent ทำให้อัลกอริทึม LMS นี้จัดอยู่ในตระกูลวิธี stochastic gradient) อัลกอริทึม LMS จะใช้ค่าผลคูณของเวกเตอร์สัญญาณเข้ากับค่าความผิดพลาด  $U_n e_n$  เป็นค่าประมาณของเกรเดียนต์เวกเตอร์  $\nabla J_n$  ใน วิธีของ steepest descent แต่อย่างไรก็ตามการประมาณเกรเดียนต์เวกเตอร์นี้ทำให้เกิดผลตามมา คือ ในการคำนวณแต่ละครั้งของน้ำหนักถ่วง  $W_n$  ของวงจรกรองเมื่อใช้อัลกอริทึม LMS จะได้รับผลจากเกรเดียนต์น้อยส์ทำให้  $W_n$  ที่คำนวณโดยอัลกอริทึม LMS จะมีการเคลื่อนไหวอย่าง



ๆ ค่าต่ำสุดของพื้นผิวความผิดพลาด (ไม่จำเป็นต้องต่ำสุดอย่างแท้จริง แต่ดูแนวโน้มค่าเฉลี่ย) สรุปได้ว่า อัลกอริทึม LMS ประกอบด้วยกระบวนการพื้นฐาน 2 กระบวนการ ดังนี้

### 1) ขบวนการกรอง (filtering process)

คำนวณผลตอบของวงจรกรองแบบทรานเวอร์สพร้อมทั้งค่าผิดพลาดในการประมาณ (estimation error) ตามสมการ (2-24) และ (2-25)

สัญญาณออกจากวงจรกรอง:

$$y_n = W_n^T U_n \quad (2-24)$$

ค่าผิดพลาด:

$$e_n = (y_n - d_n) \quad (2-25)$$

### 2) ขบวนการปรับค่าน้ำหนักถ่วง (adaptive process)

ทำการปรับน้ำหนักถ่วงของวงจรกรองอย่างอัตโนมัติตามค่าผิดพลาดในการประมาณ ดังสมการ

$$W_{n+1} = W_n - \mu(U_n e_n) \quad (2-26)$$

โดยที่  $U_n$  = เวกเตอร์สัญญาณเข้า,  $d_n$  = ผลตอบที่ต้องการ (desired response) และ  $e_n$  = ค่าผิดพลาดระหว่างข้อมูลที่ให้กับข้อมูลที่ต้องการ

#### 2.6.3.3 การนำอัลกอริทึม LMS ไปใช้เพื่อปรับค่าน้ำหนักถ่วง

ให้กับวงจรกรองของมัลติยูสเซอร์ดีเทกชันแบบป้อนกลับ

แทนที่จะทำการหา  $(F^T)^{-1}$  และ  $R$  นั้น P. Seite มองเมตริกซ์ป้อนไปข้างหน้าเป็นเหมือนกับเป็นวงจรกรองป้อนไปข้างหน้า  $K$  จุด และมองเมตริกซ์ป้อนกลับเป็นวงจรกรองป้อนกลับจำนวน  $K$  จุด น้ำหนักถ่วงจุดที่  $k$  ของวงจรกรองป้อนไปข้างหน้าและป้อนกลับจะหาได้จากการลดค่า Mean Square Error (MSE) ซึ่งนิยามไว้เป็น

$$MSE(\Psi_k^*, \Phi_k^*) = E[(s_k^* - d_k^*)^2] \quad (2-27)$$

ใช้อัลกอริทึม LMS ในการปรับลดค่า MSE นี้ โดยเลือกใช้ค่าช่วงก้าวค่าเดียวกันทั้งหมดในการปรับค่าน้ำหนักถ่วงไปพร้อมๆกันทุกคน

เมื่อให้  $\Psi_n$  แทนเมตริกซ์ของน้ำหนักถ่วงของวงจรกรองป้อนไปข้างหน้าเป็นเวลา  $nT$ , โดยที่แถวที่  $k$  ของเมตริกซ์  $\Psi_n$  แทนด้วย  $\Psi_k^n$  และสัญลักษณ์ที่ใช้เป็นลักษณะเดียวกันสำหรับเมตริกซ์



$\Phi_k$  ซึ่งเป็นเมตริกซ์ป้อนกลับที่แทนแถวที่  $k$  ของมันด้วย  $\Phi_k^n$  จะสามารถเขียนการปรับค่าน้ำหนัก  
ถ่วงของวงจรกรองป้อนไปข้างหน้าและป้อนกลับชุดที่  $k$  ได้ตามสมการ (2-28) และ (2-29)

$$\Psi_k^{n+1} = \Psi_k^n - \mu(s_k^n - d_k^n)Y_k^{nT} \tag{2-28}$$

$$\Phi_k^{n+1} = \Phi_k^n + \mu(s_k^n - d_k^n)\hat{D}_{k-1}^{nT} \tag{2-29}$$

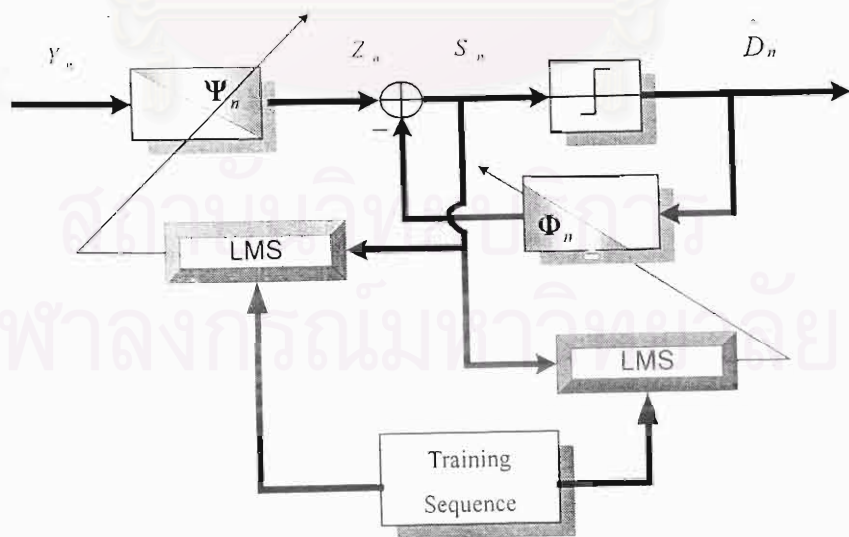
โดยที่  $\Psi_n = \begin{bmatrix} \psi_{1,1}'' & \dots & \dots & \dots & \psi_{1,K}'' \\ 0 & \psi_{2,2}'' & \dots & \dots & \psi_{2,K}'' \\ 0 & 0 & \psi_{3,3}'' & \dots & \psi_{3,K}'' \\ \vdots & & & \ddots & \vdots \\ 0 & \dots & \dots & 0 & \psi_{K,K}'' \end{bmatrix} = \begin{bmatrix} \Psi_1'' \\ \Psi_2'' \\ \Psi_3'' \\ \vdots \\ \Psi_K'' \end{bmatrix}$

$$\Phi_n = \begin{bmatrix} 0 & \dots & \dots & \dots & 0 \\ \phi_{2,1}'' & 0 & \dots & \dots & 0 \\ \phi_{3,1}'' & \phi_{3,2}'' & 0 & \dots & 0 \\ \vdots & & & \ddots & 0 \\ \phi_{K,1}'' & \dots & \dots & \phi_{K,K-1}'' & 0 \end{bmatrix} = \begin{bmatrix} \Phi_1'' \\ \Phi_2'' \\ \Phi_3'' \\ \vdots \\ \Phi_K'' \end{bmatrix}$$

$$Y_k^n = [0 \dots 0 y_k^n \dots y_k^n]^T$$

$$\text{และ } \hat{D}_{k-1}^n = [d_1^n \dots d_{k-1}^n 0 \dots 0]^T$$

บล็อกโคอะแดรรมของมัลติยูสเซอร์ดีเทกชันแบบป้อนกลับ ที่ใช้กระบวนการปรับอัตโนมัติ  
โดยอัลกอริทึม LMS ได้แสดงอยู่ในรูปที่ 2.8



รูปที่ 2.8 บล็อกโคอะแดรรมของมัลติยูสเซอร์ดีเทกชันแบบป้อนกลับ  
ที่ใช้กระบวนการปรับอัตโนมัติโดยอัลกอริทึม LMS

สำหรับสมรรถนะของมัลติยูสเซอร์ดีเทกชันแบบป้อนกลับแบบปรับตัวเองโดยใช้อัลกอริทึม LMS นี้จะมีประสิทธิภาพคือน้อยเพียงใดขึ้นอยู่กับว่าเลือกค่าช่วงก้าวค่ามากหรือน้อย ถ้าเลือกค่าช่วงก้าวค่าสูงก็จะทำให้น้ำหนักถ่วงดูเข้าเร็วทำให้สามารถส่งเทรนนิ่งซีแวนซ์ขนาดสั้นๆได้ แต่จะมีสมรรถนะที่ไม่ดีนัก และถ้าเลือกค่าช่วงก้าวค่าต่ำจะทำให้ค่าน้ำหนักถ่วงดูเข้าช้าทำให้ต้องส่งเทรนนิ่งซีแวนซ์ซึ่งขนาดยาวขึ้นแต่ก็มีข้อดีคือจะให้สมรรถนะของเครื่องรับที่ดีกว่า ในการจำลองระบบในวิทยานิพนธ์นี้จะส่งเทรนนิ่งซีแวนซ์ทั้งหมด 2000 บิต แล้วจึงส่งข้อมูลจริงโดยเลือกค่าช่วงก้าวที่ทำให้ได้ค่า BER เฉลี่ยของระบบหลังการส่งเทรนนิ่งซีแวนซ์ที่ดีที่สุด หรือกล่าวได้ว่าเป็นค่าช่วงก้าวที่ทำให้ค่า MSE ดูเข้าในช่วงประมาณ 2000 บิต

ทั้งนี้การใช้หลักการปรับลด MSE นั้นจะเสมือนมีการกำจัดผลของสัญญาณรบกวนออกไปด้วย คือ แทนจะดูเข้าสู่ค่าเมตริกซ์ซึ่งได้จากการทำ cholesky decomposition ของเมตริกซ์  $\Gamma$  จะกลายเป็นว่าจะดูเข้าสู่ค่าเมตริกซ์ซึ่งได้จากการทำ cholesky decomposition ของเมตริกซ์  $(\Gamma + \sigma^2 A^{-2})$  แทน [9] นั่นคือมีการประนีประนอมระหว่างค่าสัญญาณรบกวนที่ผ่านออกจากเครื่องรับและการกำจัด MAI ดังนั้นสัญญาณรบกวนที่ผ่านออกมาจะน้อยกว่ากรณีที่ไม่คิดผลของสัญญาณรบกวน ฉะนั้นสมรรถนะของเครื่องรับนี้เมื่ออยู่ในสถานะที่มีสัญญาณรบกวนสูงๆจะดีกว่ามัลติยูสเซอร์ดีเทกชันแบบป้อนกลับของ A. Duel-Hallen ในหัวข้อที่ 6.6.2 และสามารถเรียกเครื่องรับในหัวข้อนี้เป็น MMSE Decision Feedback Multiuser Detector แทนที่จะเป็น Decorrelating Decision Feedback Multiuser Detector อย่างไรก็ตามสมรรถนะของเครื่องรับนี้เมื่อสัญญาณรบกวนต่ำๆจะเป็นเช่นเดียวกับสมรรถนะของมัลติยูสเซอร์ดีเทกชันแบบป้อนกลับในหัวข้อที่ 6.6.2 เนื่องจาก  $\lim_{\sigma^2 \rightarrow 0} (\Gamma + \sigma^2 A^{-2}) = \Gamma$

สถาบันวิทยบริการ  
จุฬาลงกรณ์มหาวิทยาลัย